

See discussions, stats, and author profiles for this publication at: <https://www.researchgate.net/publication/272508128>

Determination of Correction Factors for Small Field Radiotherapy Using 6 and 18 MV Energies of a Linac [Persian]

Article · January 2015

CITATIONS

0

READS

59



seyed ali Rahimi

Mazandaran University of Medical Sciences

22 PUBLICATIONS 22 CITATIONS

[SEE PROFILE](#)



Seied Rabie Mahdavi

Iran University of Medical Sciences

184 PUBLICATIONS 854 CITATIONS

[SEE PROFILE](#)



Bijan Hashemi

Tarbiat Modares University

85 PUBLICATIONS 354 CITATIONS

[SEE PROFILE](#)



Hadi Molana

Ministry of Health, Iran

9 PUBLICATIONS 47 CITATIONS

[SEE PROFILE](#)

Some of the authors of this publication are also working on these related projects:



gold nano particles [View project](#)



Dosimetry of Beam Shaper Applicator for a Mobile Dedicated Intraoperative Electron Radiation Therapy Accelerator [View project](#)

ORIGINAL ARTICLE

Determination of Correction Factors for Small Field Radiotherapy Using 6 and 18MV Energies of a Linac

Seyed Ali Rahimi¹,
Bijan Hashemi²,
Seyed Rabie Mahdavi³,
Seyed Hadi Molana⁴

¹ PhD Student, Department of Medical Physics, Faculty of Medical Sciences, Tarbiat Modares University, Tehran, Iran

² Associate Professor, Department of Medical Physics, Faculty of Medical Sciences, Tarbiat Modares University, Tehran, Iran

³ Assistant Professor, Department of Medical Physics, Faculty of Medical Sciences, Iran University of Medical Sciences, Tehran, Iran

⁴ MD, Department of Radiotherapy, BESAT Hospital, Tehran, Iran

(Received September 27, 2014; Accepted December 14, 2014)

Abstract

Background and purpose: Estimating dosimetric parameters for small fields at non-reference conditions lead to significant errors if they are done based on the conventional protocols used for large fields and reference conditions. The aim of this study was to determine and compare small fields correction factors (K_{NR} and K_{NCSF}) based on a novel protocol by using different types of detectors.

Materials and methods: Specific circular cones were constructed and attached to a medical linac head to produce small field sizes down to 30 and 5mm diameters. Then, the K_{NR} and K_{NCSF} correction factors based on a recent protocol (TG155), proposed for small field dosimetry formalism, were determined for different active detectors (a pinpoint chamber, EDP20 and EDP10 diodes) in a homogeneous and a non-homogeneous phantom at the above fields when irradiated to 6 and 18 MV beams of a Varian linac.

Results: The K_{NR} correction factors for the circle field of 30mm estimated for the pinpoint chamber, EDP20 and EDP10 diodes were 0.993, 1.020 and 1.054 at 6 MV; and 0.992, 1.054 and 1.005 at 18 MV, respectively. The K_{NCSF} correction factor for the 5mm circle field estimated for the pinpoint chamber, EDP20 and EDP10 diodes were 0.994, 1.023 and 1.040 at 6MV; and 1.000, 1.014 and 1.022 at 18MV, respectively.

Conclusion: Our results indicated that implementing the correction factors estimated for the small fields based on the new proposed dosimetry protocol increases the dosimetric precision and accuracy of such fields in radiotherapy practices. Also, considering the perturbations happening between the boundaries of non-homogeneous area could increase the accuracy of the dosimetry procedures in such conditions.

Keywords: Correction factors, Diode dosimeters, Non-homogeneous phantom, Small field, TG155

J Mazandaran Univ Med Sci 2015; 24(120): 173-187 (Persian).

برآورده ضرایب تصحیح برای پرتو درمانی میدان‌های کوچک با استفاده از انرژی‌های ۶ و ۱۸ مگاولتی یک شتاب‌دهنده خطی

سید علی رحیمی^۱

بیژن هاشمی^۲

سید ریبع مهدوی^۳

سید هادی مولانا^۴

چکیده

سابقه و هدف: برآورد صحیح پارامترهای دوزیمتري میدان‌های کوچک در شرایط غیرمرجع بر مبنای پروتکلهای پرتو درمانی میدان‌های بزرگ و شرایط مرجع منجر به خطایی بیش از مقادیر توصیه شده می‌شود. هدف این تحقیق اندازه‌گیری و مقایسه ضرایب تصحیح (K_{NCSF} و K_{NR}) میدان‌های کوچک بر مبنای پروتکلهای جدید با آشکارسازها مختلف بوده است.

مواد و روش‌ها: کوئیماتورهای خاصی طراحی و ساخته و با نصب آنها بر روی یک شتاب‌دهنده خطی پزشکی میدان‌های کوچک دایره‌ای با قطرهای ۵ و ۳۰ میلی‌متر برای پرتو درمانی ایجاد شد. سپس، ضرایب تصحیح K_{NCSF} و K_{NR} بر مبنای پروتکل جدید (TG155) که برای دوزیمتري در میدان‌های کوچک معروف شده، برای آشکارسازهای فعال مختلف (اتفاقک یونیزاسیون، دیودهای EDP20 و EDP10) در یک فانتوم همگن و یک فانتوم ناهمگن در میدانهایی به ابعاد فوق و برای انرژی‌های ۶ و ۱۸ مگاولت یک شتاب‌دهنده خطی واریان اندازه‌گیری شد.

یافته‌ها: ضریب تصحیح K_{NR} در میدان دایره‌ای به قطر ۳۰ میلی‌متر برای اتفاقک یونیزاسیون، دیودهای EDP20 و EDP10 در انرژی ۶ مگاولت به ترتیب 0.993 ، 0.992 و در انرژی ۱۸ مگاولت 0.994 ، 0.992 و 0.992 بود. ضریب تصحیح K_{NCSF} در میدان دایره‌ای به قطر ۵ میلی‌متر برای اتفاقک یونیزاسیون، دیودهای EDP20 و EDP10 در انرژی ۶ مگاولت به ترتیب 0.994 ، 0.993 و در انرژی ۱۸ مگاولت 0.994 ، 0.993 و 0.993 بود.

استنتاج: نتایج نشان داد به کارگیری ضرایب تصحیح که بر اساس پروتکل جدید پیشنهادی برای دوزیمتري میدان‌های کوچک برآورد شدند، موجب افزایش دقت و صحت پرتو درمانی این میدان‌ها می‌شود. همچنین، در نظر گرفتن آشفتگی‌های ایجاد شده بین مرزهای ناحیه ناهمگن می‌تواند موجب افزایش دقت دوزیمتري در چنان شرایطی شود.

واژه‌های کلیدی: میدان کوچک، ضرایب تصحیح، دوزیمتري دیودي، TG155، فانتوم ناهمگن.

مقدمه

تحویل دوزهای تابشی با قابلیت درمانی دقیق و بالاتر تکنیک‌های رادیوتراپی نوین به طور مداوم در حال تغییر و به کارگیری اندازه میدان‌های کوچک تر برای هستند. این روش‌ها برای تحویل دوزهای تابشی با

مولف مسئول: بیژن هاشمی - تهران، دانشگاه تربیت مدرس، گروه فیزیک پزشکی، دانشکده علوم پزشکی Email: bhashemi@modares.ac.ir

۱. دانشجوی دکتری، گروه فیزیک پزشکی، دانشکده علوم پزشکی، دانشگاه تربیت مدرس، تهران، ایران

۲. دانشیار، گروه فیزیک پزشکی، دانشکده علوم پزشکی، دانشگاه تربیت مدرس، تهران، ایران

۳. استادیار دانشگاه علوم پزشکی ایران، گروه فیزیک پزشکی، دانشکده علوم پزشکی، دانشگاه علوم پزشکی ایران، تهران، ایران

۴. متخصص رادیوتراپي، بخش رادیوتراپي، بيمارستان بعثت تهران، تهران، ایران

تاریخ دریافت: ۱۴۰۳/۹/۲۳ تاریخ ارجاع جهت اصلاحات: ۱۴۰۳/۸/۱۰ تاریخ تصویب: ۱۴۰۳/۹/۲۳

گرادیان بیشتر به میدان‌هایی با اندازه‌های کوچک‌تر از سانتی‌متر و در حد میلی‌متر ارتفاع یافته‌اند^(۱). میدان‌هایی به ابعاد کوچک‌تر از سه سانتی‌متر، به عنوان میدان کوچک در رادیوتراپی نوین در نظر گرفته می‌شوند^(۱, ۲). این میدان‌ها در روش‌های رادیوتراپی نوین مانند پرتودرمانی با شدت بهینه^۱ (IMRT) و استرئوتاکتیک رادیوسرجی^۲ (SRS)، به ویژه برای ضایعات غیرقابل دسترس داخل جمجمه‌ای، از نظر جراحی و درمان تومورهای واقع در محل‌های بسیار حساس (مانند تومورهای مغزی یا نخاعی) به کار می‌روند^(۲). از آنجا که درمان مؤثر در روش‌های رادیوتراپی نوین به دقت و صحت بالایی برای دوز جذب شده در هدف نیاز دارد، خطاهای ناشی از ناکارآمدی دوزیمتری دقیق میدان‌های کوچک (به ویژه در نواحی با گرادیان شدید دوز) و پروتکل‌های رایج قابل قبول نیست^(۴, ۳). بنابراین تعیین صحت دوز جذب شده در هدف (تومور) و پارامترهای دوزیمتری مهم‌ترین چالش پروتکل‌های دوزیمتری در روش‌های نوین رادیوتراپی در میدان‌های کوچک است^(۴, ۵).

روش‌های متعددی برای محاسبه دوز جذب شده در هدف (تومور) وجود دارد. این روش‌ها با توجه به وابستگی روش محاسبه دوز جذب شده به کیفیت پرتو با محدودیت‌هایی، به ویژه در میدان‌های کوچک‌تر از $3 \times 3 \text{ cm}^2$ ، مواجه‌اند. دوزیمترها در میدان‌های کوچک و غیرمرجع پاسخ‌هایی از خود نشان می‌دهند که معیارهای معمول در فیزیک پرتوهای پهن، که در پروتکل‌های TG51 و TRS398^۶ به کار رفته، از پاسخگویی به آن ناتوان‌اند^(۶, ۷). در پروتکل‌های رایج TRS398 و TG51، تغییر کیفیت پرتو (K_Q) برای فوتون از مهم‌ترین عوامل تأثیرگذار در محاسبات دوزیمتری در میدان‌های مرجع

³ International Atomic Energy Agency

⁴ American Association of Physicists in Medicine

⁵ Task Group 155 report: Small fields and non-equilibrium condition photon beam dosimetry, 2012

⁶ non-reference condition correction factor

⁷ non-reference small field condition correction factor

¹ Intensity Modulated Radiation Therapy

² Stereotactic Radio Surgery

آنها می توانند منجر به برآورده دقيق تر دوز در لایه های ناهمنگون بافت های مورد نظر شود.

مواد و روش ها

تجهیزات و سخت افزارهای مورد استفاده دستگاه شتاب دهنده خطی؛ کلیه مراحل پرتو دهی و دوزیمتری های مختلف موردنظر در این تحقیق با استفاده از دستگاه شتاب دهنده خطی^۱ مدل Varian clinic 2100C/D بیمارستان پارس تهران انجام شد. شتاب دهنده خطی مذکور قادر به تولید فوتون هایی با انرژی ۶ و ۱۸ مگاوات بود. قبل از پرتو دهی به فانتوم ها کالیبراسیون Slab شتاب دهنده خطی با استفاده از فانتوم های استاندارد (phantom Tank و phantom) انجام شد.

کولیماتورهای میدان کوچک: برای ایجاد میدان های کوچک با قابلیت تولید میدان های دایره ای با قطرهایی به ابعاد ۵ و ۳۰ میلی متر از کولیماتورهای خاص استرئوتاکنیک همگرا کننده ای از جنس سرب به قطر ۸ و ارتفاع ۱۰ سانتی متر استفاده شد. کولیماتورها در نقطه ایزو ستر دستگاه شتاب دهنده به وسیله یک آداپتور نگهدارنده به سر دستگاه متصل می شدند. آداپتور این امکان را می دهد تا کولیماتور در صفحه -x و -y جابجا شود و با استفاده از میکرومتر متصل به آن کولیماتور را در نقطه ایزو ستر دستگاه شتاب دهنده خطی تنظیم کنیم (۴۹). تصویر شماره (۱) چهار

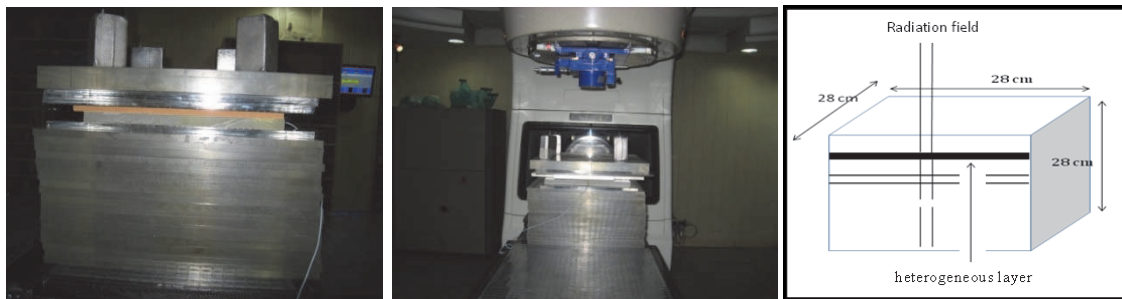


تصویر شماره ۱: کولیماتورهای خاص میدان کوچک و آداپتور نگهدارنده آنها برای اتصال به سر شتاب دهنده خطی واریان

¹ linac

این ضرایب احتمال تغییر کیفیت پرتو استفاده شده در میدان های کوچک نسبت به کیفیت پرتو با همان انرژی را در میدان های رایج برآورده می کند (۲۰، ۱۹). همچنین در پروتکل جدید به کارگیری حداقل دو نوع دوزیمتر در اندازه گیری تجربی پارامترهای دوزیمتری میدان های کوچک پیشنهاد شده است. تأکید بر استفاده از دوزیمتر دیودی به دلیل حساسیت زیاد، اسکن سریع توزیع دوز و ابعاد ناچیز آن که با قرار گرفتن در میدان تابش آشفتگی ناچیزی در توزیع دوز ایجاد می کند، نیز از نکات مهم این پروتکل است.

با توجه به اهمیت ضرایب تصمیع در محاسبات دوزیمتری و ناکارآمدی پروتکل های رایج در شرایط مرجع برای دوزیمتری در میدان های کوچک و ضرورت کاربرد روزافزون این نوع میدان ها در روش های نوین پرتو درمانی، در این تحقیق ضرایب تصمیع پیشنهادی برای در نظر گرفتن تغییر کیفیت پرتو برای چند نوع دوزیمتر دیودی و اتفاقک یونش در میدان های کوچک دایره ای با قطرهای ۵ و ۳۰ میلی متر و انرژی های ۶ و ۱۸ مگاواتی بر اساس پروتکل جدید TG155 برآورده شده است. علاوه بر یافتن ضرایب تصمیع، به دلیل اینکه در محاسبات دوزیمتری مبنی بر پروتکل های رایج رادیوتراپی، آشفتگی درون ناهمنگی و نواحی بعد از آن در بافت های مختلف در نظر گرفته نمی شود (که عاملی در تغییر کیفیت پرتوی است و نتیجه آن افزایش دوز در نقاط ناخواسته و کاهش دوز دریافتی هدف است)، در این مطالعه با طراحی یک فانتوم ناهمنگ با لایه های ناهمنگ مختلف و ضخامت های مختلف توزیع دوز در نواحی ناهمنگ در میدان های کوچک نیز بررسی شده است. نتایج این تحقیق منجر به یافتن ضرایب تصمیعی برای توزیع دوز در نواحی ناهمنگ در میدان های کوچک در روش های رادیوتراپی نوین شده است که به کارگیری



تصویر شماره ۲: نمایش فانتوم ناهمگن طراحی شده و نحوه قرار گرفتن لایه ناهمگن معادل استخوان و بافت در آن (راست)، تصویر فانتوم با لایه ناهمگن معادل استخوان (PTFE) (وسط) و تصویر فانتوم با لایه ناهمگن معادل بافت (Cork) (چپ)

(۲) فانتوم‌های ناهمگن به کار رفته در این تحقیق را نشان می‌دهد.

کالیبراسیون دیودها و آزمایش‌های ضروری دیودها قبل از استفاده و تابش دهی؛ برای اندازه‌گیری‌های دقیق و با توجه به اینکه اطلاعاتی از کالیبراسیون دیودهای کمپانی Scanditronix در دسترس نبود، دستگاه اندازه‌گیری DPD3 و هر یک از دیودها برای اندازه‌گیری دوز ورودی باید کالیبره می‌شد. به این منظور فاکتور کالیبراسیون ورودی در شرایط میدان‌های مرجع ($10 \times 10 \text{ cm}^2$) به صورت نسبت دوز جذبی اندازه‌گیری شده با اتفاقک یونیزاسیون در عمق دوز ماقریم (cm) در شرایط مرجع تعیین شد. برای اجتناب از اثر سایه، دیودها و اتفاقک یونیزاسیون به طور جداگانه تحت تابش یکسان قرار گرفتند. الکترومتر DPD3 قبل از شروع به کار باید ۱۵ دقیقه گرم شود. دیودهای Scanditronix به الکترومتر DPD3 با مقاومت ورودی کم متصل می‌شوند. این الکترومتر دارای سه کanal خروجی برای نصب همزمان سه دوزیمتر دیودی است. تصویر شماره (۳) انواع دیودهای به کار رفته و الکترومتر مخصوص DPD3 را نشان می‌دهد. کالیبراسیون دیودها در آزمایشگاه دوزیمتری استاندارد ثانویه (SSDL) سازمان انرژی اتمی ایران انجام شد.



تصویر شماره ۳: دیودهای Scanditronix و الکترومتر مخصوص DPD3 با سه کanal خروجی

کولیماتور میدان کوچک و آدأپتور اختصاصی استفاده شده در این تحقیق را نشان می‌دهد.

طراحی و ساخت فانتوم^۱ برای دزیمتر دیودی و اتفاقک یونیزان Pinpoint^۲ برای ساخت فانتوم از قطعات پلکسی گلاس از جنس پلی آکریلیک^۳ (PMMA) و با دانسیته $1/18 \text{ gr/cm}^3$ استفاده شد. فانتوم ناهمگن به صورت مکعبی به ابعاد $28 \times 28 \times 28 \text{ cm}^3$ ساخته شد. برای بررسی پارامترهای دزیمتری در لایه ناهمگن با دانسیته کم (بافت نرم) و لایه ناهمگن با دانسیته بالا (استخوان) و آشفتگی‌های ایجاد شده به دلیل وجود ناهمگنی از فانتوم‌های ناهمگن استفاده می‌شود (۱۴). برای مدل کردن بافت و شبیه‌سازی ناهمگنی با دانسیته بالا (مدل استخوان) از تفلون نسوز^۳ (PTFE) با دانسیته $2/2 \text{ gr/cm}^3$ و برای شبیه‌سازی ناهمگنی با دانسیته کم (بافت نرم) از Cork (نوعی چوب پنبه) با دانسیته $0/2 \text{ gr/cm}^3$ استفاده شد (۴۹، ۵۳). تصویر شماره

¹ Slab Phantom

² Poly Methyl Methacrylate (PMMA)

³ Poly Tetra Fluoro Ethylene (PTFE)

جدول شماره ۱: مشخصات دیودهای کمپانی Scanditronix

Detector	Application area Build-up	Water equivalent	Sensitivity decrease at 250 Gy
EDP-10(green)	4-8 MV(Photons.) entrance dose, few corrections, exit dose	10 mm	≤%1 (less than the mass accuracy) at 6 MV
EDP-15 (red)	6-14 MV (Photons) entrance dose, few corrections, exit dose	15 mm	≤%1 (less than the mass accuracy) at 6 MV
EDP-20(yellow)	8-18 MV(Photons.) entrance dose, few corrections, exit dose	20 mm	≤%1 at 1 MV

و برای اطمینان از صحت نتایج آزمایش‌های کنترلی در صحت عملکرد آن، هر آزمایش پنج بار انجام و میانگین نتایج آن‌ها در نظر گرفته شد. در این آزمایش‌ها دیودها به صورت عمودی تابش دهی شدند و بلافاصله بعد از پرتودهی و بعد از پنج دقیقه مقادیر دستگاه الکتروومتر DPD3 قرائت شدند. در تمام مراحل پرتودهی خوانش‌های الکتروومتر DPD3 با خوانش اتفاک یونیزاسیون PinPoint نیز مقایسه شد.

تصویر شماره ^۴ بساط ^۳ آزمایش‌های ضروری برای دیودهای Scanditronix را که در این تحقیق به کار گرفته شده است، نشان می‌دهد.

تابش دهی به فانتوم‌های همگن و ناهمگن: تابش دهی به فانتوم ناهمگن با ناهمگنی Cork و PTFE با ضخامت ۳۰ میلی‌متر در انرژی‌های ۶ و ۱۸ مگاوات و در میدان‌های دایره‌ای با قطرهایی به ابعاد ۵ و ۳۰ میلی‌متر انجام شد. نوار تیره نمایانگر ناهمگنی در فانتوم ناهمگن است (تصویر شماره ^۲) که با مواد ناهمگن تغییرپذیر است. دوزیمتری با استفاده از دیودهای EBT2، EDP10، Pinpoint و فیلم ^۵ به تفکیک در هر میدان انجام شد. برای مقایسه پارامترهای دوزیمتریک، تابش دهی به فانتوم همگن (تصویر شماره ^۲، فانتوم بدون دربرداشتن لایه ناهمگن)، در انرژی‌ها و میدان‌های ذکر شده نیز انجام شد. برای اطمینان از صحت اندازه‌گیری، هر حالت تابش دهی پنج بار تکرار و میانگین آن‌ها در نظر گرفته شد. تصویر شماره ^(۵) بساط تابش دهی به فانتوم همگن و فانتوم ناهمگن طراحی شده با ناهمگنی Cork و ناهمگنی PTFE را نشان می‌دهد.

³ Setup



تصویر شماره ^۴: بساط دیودهای Scanditronix برای آزمایش‌های ضروری دوزیمترهای دیودی

برای استفاده از دیودهای ساخت کمپانی Scanditronix در شرایط متفاوت از شرایط مرجع (میدان کوچک) آزمایش‌های کنترلی برای اطمینان از صحت عملکرد دیودها نیز انجام شد. کلیه این آزمایش‌ها نیز با استفاده از دستگاه شتاب‌دهنده خطی^۱ مدل Varian clinic 2100C/D بیمارستان پارس تهران انجام شد. جدول شماره ^(۱) مشخصات فنی دوزیمترهای دیودی استفاده شده در این تحقیق را نشان می‌دهد.

به دلیل ماهیت ذاتی دیودها، پاسخ آنها یکسان نیستند، بر همین اساس نتایج آزمایش‌های ارزیابی دیودها با گزارش ^۲ ESTRO سال ۲۰۰۶ مربوط به کاربرد دوزیمتر دیودی در رادیوتراپی نیز مقایسه شد. نتایج انحراف معیار بین قرائت‌های ۱۰ دوز یکسان برای دوزیمتر دیودی EDP10 در انرژی ۶ مگاوات حداقل مقدار ۰/۰۶ درصد و برای دوزیمتر دیودی EDP20 در انرژی ۱۸ مگاوات حداقل مقدار ۰/۱۶ درصد به دست آمد که با حدود گزارش شده در گزارش ESTRO مطابقت دارد (^{۲۲}). در این تحقیق آزمایش‌های مهم سنجش پایداری سیگنال دیود، تکرار پذیری نتایج و خطی بودن پاسخ دیود انجام شد.

¹ linac

² European Society for Radiotherapy & Oncology



تصویر شماره ۵: بساط تابش دهی به فانتوم همگن (راست) و فانتوم ناهمگن با ناهمگنی Cork (وسط) و ناهمگنی PTFE (چپ) با نصب کولیماتور خاص میدان های کوچک به سرتاب دهنده خطی واریان

تصحیح_{Q,Q₀} برای انواع اتفاقک های یونش در شرایط میدان های مرجع در جدول I پروتکل TG-51 و در جدول ۱۴ پروتکل TRS-398 ذکر شده است. بر اساس پروتکل های جدید برای محاسبه دقیق دوز در میدان های کوچک، به دلیل احتمال تغییر کیفیت پرتو استفاده شده در میدان های کوچک نسبت به کیفیت پرتو با همان انرژی مورد استفاده در میدان های مرسوم، معادله (۵) به شرح زیر پیشنهاد شده است.

$$D_{w,Q_{msr}}^{f_{msr}} = M_{Q_{msr}}^{f_{msr}} \cdot N_{Dw,Q_0} \cdot K_{Q,Q_0} \quad (4)$$

$$D_{w,Q_{msr}}^{f_{msr}} = M_{Q_{msr}}^{f_{msr}} \cdot N_{Dw,Q_0} \cdot K_{Q,Q_0} \cdot K_{Q_{msr},q}^{f_{msr,fref}} \quad (5)$$

$K_{Q_{msr},q}^{f_{msr,fref}}$ به عنوان ضریب تصحیح کیفیت پرتو در پروتکل های جدید دوزیمتری میدان های کوچک معرفی شده است. این ضریب برای تصحیح تفاوت در شرایط هندسی اندازه میدان نسبت به شرایط مرجع و همچنین در شرایطی که از موادی با چگالی های مختلف در فانتوم در میدان های مرجع (f_{ref}) و مرجع اختصاصی ماشین^۲ msr استفاده می شود، به کار می روند. این ضریب با روش های تجربی و شبیه سازی با کد مونت کارلو محاسبه می شود. با توجه به معادلات (۱) و (۲) در پروتکل جدید دوزیمتری میدان کوچک،

روش محاسبه ضرایب تصحیح

برای محاسبه ضرایب تصحیح از معادلات (۱) و (۲) که در پروتکل جدید برای دوزیمتری میدان های کوچک پیشنهاد شده، استفاده شد (۱۸). در معادله (۱) پارامتر $Y_t(x_{ref})$ پاسخ دوزیمتر در شرایط مرجع و پارامتر $Y_t(x)$ پاسخ آن در میدان های کوچک سه سانتی متری است. در معادله (۲) پارامتر $Y_{t(xcal,SF)}$ پاسخ دوزیمتر در میدان های کوچک زیر سه سانتی متری است. ضریب تصحیح K_{NR} با توجه به پیشنهاد پروتکل جدید دوزیمتری برابر است با:

$$K_{NR} = Y_t(x_{ref})/Y_t(x) \quad (1)$$

ضریب تصحیح K_{NCSF} نیز برای میدان های زیر ۳

سانتی متر برابر است با:

$$K_{NCSF} = Y_{t(xcal,SF)}^1/Y_t(x) \quad (2)$$

با ترکیب دو معادله (۱) و (۲) ضریب K_{NCSF} بر

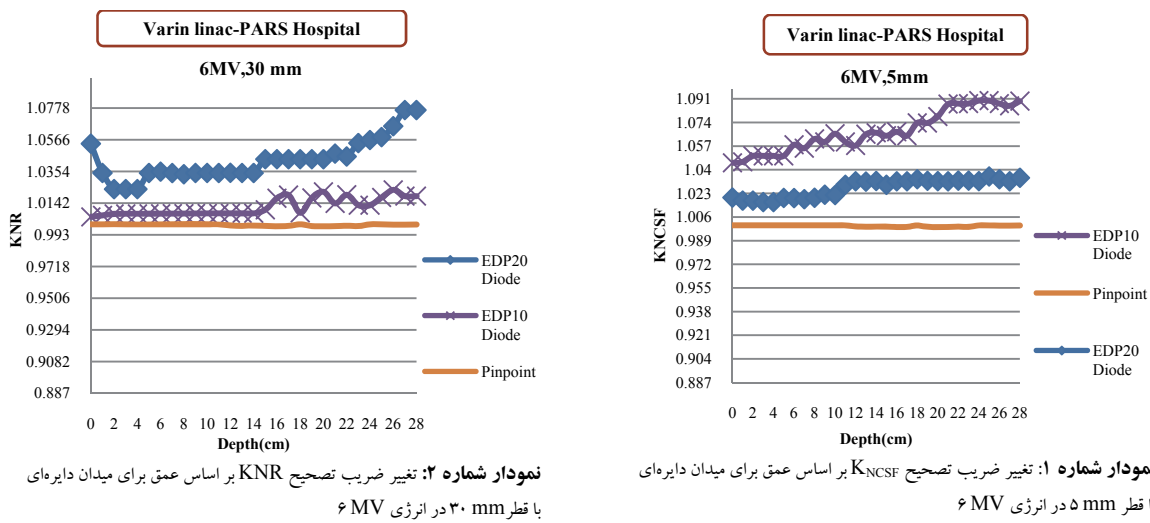
اساس K_{NR} برابر است با:

$$K_{NCSF(x)} = K_{NR(x)}/K_{NR(xcal,SF)} \quad (3)$$

پارامترهای ذکر شده به تفکیک برای دوزیمترهای دیودی مختلف و اتفاقک یونش Pinpoint با روش اندازه گیری تجربی و محاسبه در فانتوم همگن بررسی شد. بر اساس پروتکل های رایج (TRS-398 و TG-51) از معادله (۴) به شرح زیر برای برآورد دوز در میدان های رایج استفاده می شود. در این معادله ضریب

²Machine specific reference

¹ Small calibration field



هدف (تومور) می‌شود (۴، ۵). با توجه به توضیحات ذکر شده، در بخش دیگری از این تحقیق تغییرات دوز بر روی محور مرکزی در انرژی‌های ۶ و ۱۸ مگاولت در میدان‌های کوچک با قطرهایی به ابعاد ۵ و ۳۰ میلی‌متر در فانتوم ناهمگن طراحی شده در عمق‌های مختلف با حضور لایه‌های مختلف ناهمگن معادل استخوان و بافت (PTFE و Cork) به تفکیک بررسی شد.

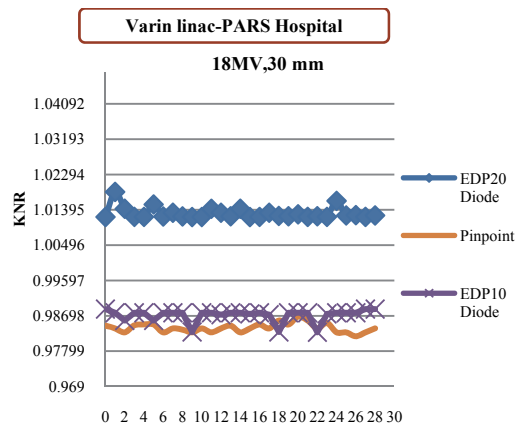
یافته‌ها

یافته‌ها در این تحقیق در دو بخش گزارش می‌شود:

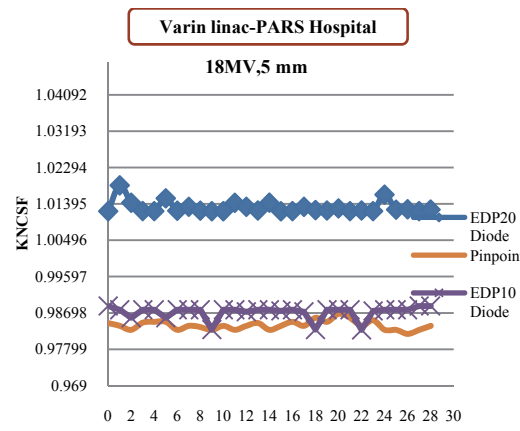
(الف) ضرایب تصمیع اندازه‌گیری شده برای دوزیمترهای مختلف در میدان‌های کوچک بر اساس اندازه‌گیری تجربی و محاسبات ضرایب تصمیع K_{NR} و K_{NCSF} برای میدان‌های دایروی با قطرهای ۵ و ۳۰ میلی‌متر در انرژی ۶ و ۱۸ مگاولت برای عمق‌های مختلف به دست آمد. نمودارهای شماره ۱ تا ۴ تغییر ضرایب تصمیع K_{NR} و K_{NCSF} را بر اساس عمق در یک فانتوم همگن برای میدان‌های دایره‌ای با قطرهای ۵ و ۳۰ میلی‌متر در انرژی‌های ۶ و ۱۸ مگاولت نشان می‌دهد.

یافته‌ها نشان داد در انرژی ۶ مگاولت و در میدان دایروی کوچک با قطر ۵ میلی‌متر در یک فانتوم همگن ضریب تصمیع K_{NCSF} برای اتفاقک یونیزاسیون

پارامترهای Y_{t(xcal,SF)} و Y_t پاسخ دوزیمترهای دیودی مختلف و اتفاقک یونش در میدان‌های کوچک دایروی سه و زیر سه سانتی‌متری برای انرژی‌های ۶ و ۱۸MV در فانتوم همگن اندازه‌گیری شد. با توجه به معادله (۱) و (۲) ضرایب تصمیع K_{NR} و K_{NCSF} برای حالت‌های مختلف محاسبه شد. برای اطمینان از صحت اندازه‌گیری، هر حالت تابش دهی پنج بار تکرار و میانگین پاسخ دوزیمترها در نظر گرفته شد. به دلیل حالات‌های مختلف انرژی، اندازه میدان، به کار گیری چند نوع دوزیمتر و عمق‌های مختلف، اندازه‌گیری و استخراج داده‌های مورد نظر این بخش از تحقیق زمان قابل ملاحظه‌ای صرف شد. با تأثیر ضرایب تصمیع ذکر شده در معادله (۵) محاسبه دقیق دوز (D_{w,Q_{MR}}^{f_{MR}}) در میدان‌های کوچک استفاده شده در این تحقیق برآورد شد. حساسیت بالای محاسبات دوزیمتری به ناهمگونی بافت‌های مختلف موجب تغییر کیفیت پرتو و نتیجه آن منجر به تغییرات دوز بر روی محور مرکزی به علت عدم تعادل الکترونی خواهد شد (۲۰، ۱۴). در پروتکل‌های رایج TRS-398 و TG-51 در محاسبات دوزیمتری این آشفتگی درون ناهمگنی و نواحی بعد از آن در نظر گرفته نمی‌شود که موجب افزایش دوز در نقاط ناخواسته و بحرانی و کاهش دوز به



نمودار شماره ۴: تغییر ضریب تصحیح K_{NR} بر اساس عمق برای میدان دایره‌ای با قطر ۳۰ mm در انرژی ۱۸ MV



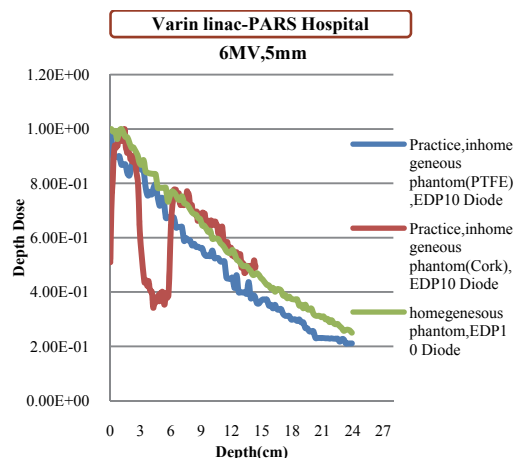
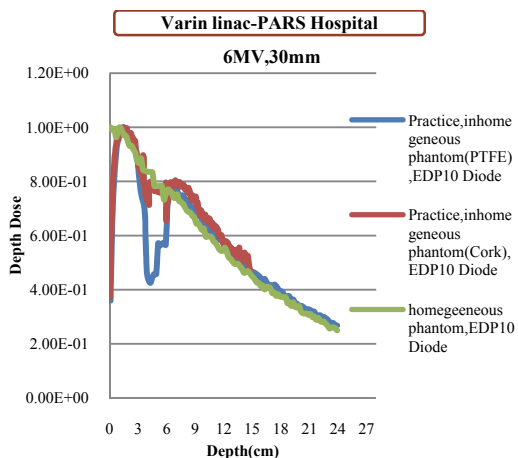
نمودار شماره ۳: تغییر ضریب تصحیح K_{NCSF} بر اساس عمق برای میدان دایره‌ای با قطر ۵ mm در انرژی ۱۸ MV

از ضریب تصحیح برای اتفاک یونیزاسیون و Pinpoint و Diode EDP-10 بزرگ‌تر بود. برای افزایش دقت و صحت ضرایب تصحیح، اندازه‌گیری‌ها برای هر انرژی و در هر میدان ۵ بار تکرار شد و میانگین اندازه‌گیری‌ها در نظر گرفته شد. در هر بار تابش دهی به فانتوم‌های ناهمگن و همگن میدان کوچک تولید شده به وسیله کولیماتورهای خاص همگراکننده کنترل و بازبینی شد و با میکرومترهای متصل به آداپتور کولیماتورها در صفحه y-x جابجا شد تا در نقطه ایزوستر دستگاه شتاب‌دهنده خطی قرار گیرد (۴۹).

ب) تغییرات ضرایب تصحیح بر حسب عمق در فانتوم ناهمگن: نمودارهای ۵ تا ۸ نتایج تابش دهی به فانتوم ناهمگن طراحی شده با ناهمگنی Cork و PTFE با خصامت ۳۰ میلی‌متر در انرژی‌های ۶ و ۱۸ میلی‌متر و در میدان‌های دایروی با قطرهای ۵ و ۳۰ میلی‌متر را نشان می‌دهد. بیشترین تغییرات درصد دوز عمقی در فانتوم ناهمگن نسبت به فانتوم همگن در حضور ۳۰ میلی‌متر ناهمگنی Cork در میدان‌های ۵ و ۳۰ میلی‌متری به ترتیب ۲۳/۵ و ۶۲/۱ درصد و برای ناهمگنی PTFE در میدان‌های ۵ و ۳۰ میلی‌متری به ترتیب ۷/۱۵ و ۸/۱۷ درصد اندازه‌گیری شد. علاوه بر دوزیمترهای ذکر شده

EDP-20 از ضریب تصحیح دیودهای Pinpoint و EDP-10، EDP-10، کوچک‌تر است. در انرژی ۶ میلی‌متر ضریب K_{NR} برای میدان دایره‌ای با قطر ۳۰ میلی‌متر ضریب K_{NCSF} برای اتفاک یونیزاسیون Pinpoint از ضریب تصحیح دیودهای EDP-10، EDP-20 کوچک‌تر بود. کمترین مقدار ضریب تصحیح، ۰/۹۹۱۷، مربوط به اتفاک یونیزاسیون Pinpoint و بیشترین مقدار آن، ۱/۰۳۸۹ مربوط به دیود EDP-20 اندازه‌گیری شد. در انرژی ۶ میلی‌متر ضریب تصحیح مربوط به اتفاک یونیزاسیون Pinpoint رفتاری خطی بر اساس تغییر عمق از خود نشان می‌دهد.

همچنین یافته‌ها نشان داد در انرژی ۱۸ میلی‌متر و در میدان دایروی با قطر ۵ میلی‌متر در یک فانتوم همگن ضریب تصحیح K_{NCSF} برای اتفاک یونیزاسیون Pinpoint از ضریب تصحیح دیودهای EDP-10، EDP-20 کوچک‌تر است. همچنین در انرژی ۱۸ میلی‌متر ضریب K_{NR} برای اتفاک یونیزاسیون Pinpoint از ضریب تصحیح دیودهای EDP-10، EDP-10، کوچک‌تر بود. در هر دو میدان کوچک EDP-20 بررسی شده مقدار ضریب تصحیح دیود



نمودارهای ۲ و ۴ نشان می‌دهند، مهم‌ترین علت ناکارآمدی اتاقک یونیزاسیون Pinpoint در میدان‌های کوچک، بزرگ بودن حجم حساس آن نسبت به ناحیه تخت بسیار کوچک در میدان‌های کمتر از ۳ سانتی‌متری است، که با نتایج تحقیقات Araki, Kawachi, Bouchard, Bouchard, Araki در توافق است (۳۳, ۴۰, ۵۱).

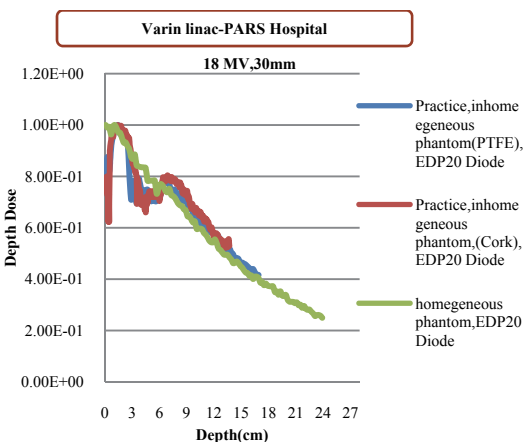
در میدان‌های بزرگ‌تر از ۳ سانتی‌متر به دلیل پرتوهای پراکنده کم انرژی مقدار دوز جنبی توسط اتاقک یونیزاسیون Pinpoint بیش از مقدار واقعی اندازه گیری شده و ضریب تصحیح آن کوچک‌تر از یک محاسبه شد. نمودارهای ۱ و ۳ نشان می‌دهد در میدان‌های کوچک‌تر از ۳ سانتی‌متر، به دلیل کاهش پرتوهای پراکنده اندازه گیری شده، مقدار دوز کمتر از مقدار واقعی اندازه گیری شده بوده است. بیشترین اختلاف در برآورد ضریب تصحیح در میدان ۵ میلی‌متر برای دوزیمترهای دیودی EDP-20, EDP-10 و اتاقک یونیزاسیون Pinpoint به ترتیب $\frac{3}{4}$, $\frac{4}{3}$, $\frac{7}{21}$ درصد است (۴۶, ۴۷, ۵۱). با تأثیر ضرایب تصحیح به دست آمده در پارامترهای دوزیمتری میدان‌های کوچک بر

از فیلم EBT2 برای به دست آوردن پروفایل‌های عرضی در این بخش از اندازه گیری نیز استفاده شد.

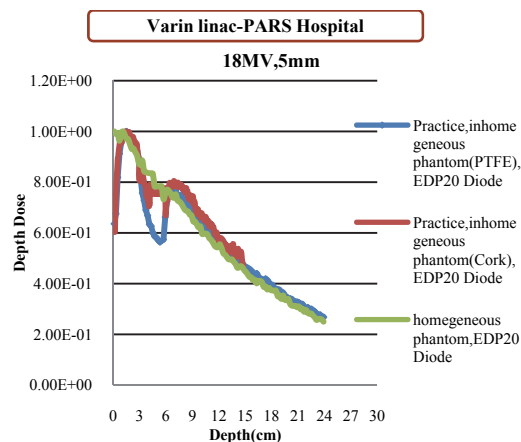
بحث

در این تحقیق عملکرد دو نوع دوزیمتر دیودی و اتاقک یونیزاسیون Pinpoint و فیلم EBT2 برای اندازه گیری پارامترهای دوزیمتریک در میدان‌های دایره‌ای بررسی شدند. ضرایب تصحیح اندازه گیری شده به وسیله دوزیمترهای دیودی EDP-10, EDP-20 برای میدان‌های دایروی مقادیر کوچک‌تری نسبت به مقادیر اندازه گیری شده با اتاقک یونیزاسیون Pinpoint هستند که با نتایج تحقیقات Muir, Chofer, Otto و TLD و اتاقک یونیزاسیون Farmer^۱ اندازه گیری‌هایشان را انجام داده‌اند در توافق است (۴۱, ۴۲, ۵۴). همچنین نتایج اندازه گیری در این تحقیق با اتاقک یونیزاسیون Pinpoint در میدان‌های کوچک نشان داد که اتاقک یونیزاسیون Pinpoint دوزیمتر مناسبی برای دوزیمتری میدان‌های کوچک نیست. بنابراین، برای دوزیمتری تجربی در میدان‌های کوچک دوزیمترهای دیودی پیشنهاد می‌شوند.

¹ Farmer



نمودار شماره ۸: تغییر دوز جذبی اندازه گیری شده ناشی از ضخامت ۳۰ mm PTFE و Cork در انرژی ۱۸ MV در میدان دایره‌ای با قطر ۳۰ mm ناهمگنی



نمودار شماره ۷: تغییر دوز جذبی اندازه گیری شده ناشی از ضخامت ۳۰ mm Cork در انرژی ۱۸ MV در میدان دایره‌ای با قطر ۵ mm ناهمگنی

تفلون نسوز (PTFE) با چگالی بیشتری از آب تغییرات شدیدتر ناشی از فانتوم ناهمگن (نسبت به ناهمگنی Cork) بر دوز در محور مرکزی در میدان‌های کوچک موجب بیشترین مقدار آشفتگی درون ناهمگنی و بعد از ناهمگنی (به دلیل کاهش شدید تعادل الکترونی) می‌شود. نتایج نشان داد در میدان‌های کوچک تغییرات دوز بر محور مرکزی به علت حضور ناهمگنی معنی‌دار است. در نظر گرفتن آشفتگی‌های ایجاد شده در محاسبات دوزیمتري میدان‌های کوچک ضروری است، بهویژه در مزر بافت نرم و تفلون نسوز نتایج این تحقیق با اندازه گیری‌های انجام شده از سوی یاراحمدی و همکاران که با فیلم EBT2 و EDR2 انجام شده است توافق دارد (۴۸). همچنین نمودار ۷ و ۸ نشان می‌دهد، بیشترین تغییرات درصد دوز عمقي در فانتوم ناهمگن نسبت به فانتوم همگن در حضور ۳۰ میلی‌متر ناهمگنی در میدان‌های ۵ و ۳۰ به ترتیب ۷/۱۵ و ۷/۱۷ PTFE درصد اندازه گیری شده است. این نتایج با گزارش‌های است نیز توافق دارد (۱۹، ۲۴).

این اختلاف معنی‌دار موجب افزایش دوز در نقاط ناخواسته و بحرانی و کاهش دوز به تومور خواهد شد. لذا با توجه به اهمیت استفاده از روش‌های پرتو درمانی

اساس پروتکل جدید، دقت تحويل دوز به نقطه مورد نظر در مقایسه با کاربرد پروتکل‌های رایج ۸/۳۲ درصد افزایش یافته است (۱۸، ۴۵، ۴۶، ۵۰).

برای ناهمگنی Cork (معادل ریه) در میدان‌های کوچک نیز آشفتگی موجب اختلاف معنی‌داری درون ناهمگنی و نواحی بعد از ناهمگنی اندازه گیری شده است. این اختلاف معنی‌دار در میدان با قطر ۵ میلی‌متر دارای بیشترین مقدار (به دلیل حداکثر تعادل الکترونی) و بیشترین کاهش دوز روی محور مرکزی است و در میدان با قطر ۳۰ میلی‌متر به دلیل کاهش عدم تعادل الکترونی تغییرات دوز روی محور مرکزی لایه ناهمگن کاهش می‌یابد (۴۸). نمودارهای ۵ و ۶ نشان می‌دهند، بیشترین تغییرات درصد دوز عمقي در فانتوم ناهمگن نسبت به فانتوم همگن در حضور ۳۰ میلی‌متر ناهمگنی Cork در میدان‌های دایره‌ای ۵ و ۳۰ میلی‌متر به ترتیب ۲۳/۵ و ۶۲/۱ درصد اندازه گیری شده است. بنابراین، اندازه میدان بر تغییرات دوز در لایه ناهمگن در موادی با چگالی کمتر از آب عامل مهمی هنگام دوزیمتري در محدوده انرژی کامپیتون در نظر گرفته می‌شود. نتایج به دست آمده در این تحقیق با گزارش‌های Cardoso و Scarborough, Cheng توافق دارد (۱۵، ۱۸، ۳۸، ۴۹).

همچنین نتایج نشان داد که در حضور ناهمگنی

اندازه های کوچک تر از سانتی متر به هدف (تومور)، استفاده از ضایایب تصحیح به دست آمده از این تحقیق در برآورد دقیق دوز در کاربردهای کلینیکی بسیار حائز اهمیت است.

سپاسگزاری

این تحقیق حاصل از نتایج یک رساله دکتری است که توسط نویسنده اول و تحت راهنمایی نویسنده دوم و با مشارکت علمی سایر نویسندهای دانشگاه تربیت مدرس انجام شده است. همچنین از تجهیزات بخش رادیوتراپی بیمارستان پارس و امام خمینی تهران نیز استفاده شده است. لذا ضروری است از حمایت های دانشگاه تربیت مدرس و همچنین نقطه نظرات ارزشمندی که از سوی سایر همکاران محترم از جمله آقایان دکتر ندایی و دکتر یاراحمدی که در انجام این تحقیق ارائه شد از صمیم قلب تشکر و قدردانی شود. علاوه بر این ضروری است از همکاری صمیمانه سایر همکاران محترم در بیمارستان های پارس، شهدای تجریش و بعثت تهران نیز قدردانی کنیم.

References

1. Duggan DM, Coffey CW 2nd. Small photon field dosimetry for stereotactic radiosurgery. Med Dosim 1998; 23:153-159.
2. Ding GX, Duggan DM, Coffey CW. Commissioning stereotactic radiosurgery beams using both experimental and theoretical methods. Phys Med Biol. 2006; 51(10):2549- 2566.
3. Das IJ, Ding GX, Ahnesjo A. Small fields: nonequilibrium radiation dosimetry. Med Phys. 2008; 35(1):206-215.
4. IAEA 398, Absorbed Dose Determination in External Beam Radiotherapy. Technical

نوین در نواحی سر، گردن و نواحی دارای ناهمگنی لزوم در نظر گرفتن آشفتگی و تغییرات دوز بر روی محور مرکزی در محاسبات دوزیمتري ضروری است (۴۸). در این شرایط استفاده از ضایایب تصحیح (برای کاهش اثر تغییر کیفیت پرتو در میدان های کوچک) پیشنهادی در میدان های کوچک ضروری است.

تمام مطالعات گذشته بر روی ضایایب تصحیح بر اساس پروتکل های رایج انجام شده است. با توجه به مشکلات فراوان دوزیمتري میدان های کوچک، نتیجه استفاده از پروتکل های رایج موجب برآورد همراه با خطأ در پارامتر های دوزیمتريکی می شود (۸، ۹، ۱۴). مطالعات انجام شده برای میدان های کوچک تر از سه سانتی متر، عدم محاسبه یا اندازه گیری ضایایب تصحیح کیفیت پرتو در میدان های کوچک و عدم به کار گیری ضایایب دوزیمتري در پروتکل های پرتو درمانی جدید، موجب کاهش صحت نتایج پارامتر های دوزیمتري می شود (۴۶، ۲۶، ۲۰). لذا با توجه به ضرورت کاربرد روزافرون میدان های کوچک در روش های نوین پرتو درمانی برای تحويل دوز های تابشی با گرادیان بیشتر به میدان هایی با

Report Series No 398. Vienna:International Atomic Energy Agency; 2000.

5. Almond PR, Biggs PJ, Hanson WF, Huq MS, Nath R, Rogers DWO. AAPM's TG-51 protocol for clinical reference dosimetry of high-energy photon and electron beams. Med Phys. 1999; 26 (9):1847-1870.
6. DIN 6800-2, Dosismessverfahren nach der Sondenmethode für Photonen- und Elektronenstrahlung. Part 2: Dosimetrie hochenergetischer Photonen- und Elektronenstrahlung mit Ionisationskammern; 2008. Available from: <http://www.beuth.de/en/standard/din-6800>

7. IPEM Report 103, Small Field MV Photon Dosimetry. International Atomic Energy Agency; 2010.
8. Alfonso R, Andreo P, Capote R, Huq MS, Kilby W, Kjall P, et al: A new formalism for reference dosimetry of small and nonstandard fields. *Med Phys.* 2008; 35:5179-5186.
9. Wulff J, Heverhagen JT, Karle H, Zink K. Investigation of correction factors for non-reference conditions in ion chamber photon dosimetry with Monte-Carlo simulations. *Z Med Phys.* 2010; 20(1):25-33.
10. German Institute of Standards, DIN 6800-2. Procedures of dosimetry with probe-type detectors for photon and electron radiation – Part 2: Dosimetry of high-energy photon and electron radiation with ionization chambers; 2008.
11. German Institute of Standards, DIN 6800-5. Procedures of dosimetry with probe-type detectors for photon and electron radiation – Part 5: TLD dosimetry. 2005.
12. Ding GX, Duggan DM, Coffey CW. A theoretical approach for non-equilibrium radiation dosimetry. *Phys Med Biol.* 2008; 53(13):3493-3499.
13. Das IJ, Ding GX, Ahnesjö A. Small fields: Nonequilibrium radiation dosimetry. *Med Phys.* 2008; 35 (1):206-215.
14. da Rosa LA, Cardoso SC, Campos LT, Alves VG, Batista DV, Facure A. Percentage depth dose evaluation in heterogeneous media using thermoluminescent dosimetry. *J Appl Clin Med Phys.* 2010; 11(1):2947.
15. Scarboro SB, Followill DS, Howell RM, Kry SF. Variations in photon energy spectra of a 6 MV beam and their impact on TLD response. *Med Phys.* 2011; 38(5):2619-2628.
16. Palm A, LoSasso T. Influence of phantom material and phantom size on radiographic film response in therapy photon beams. *Med Phys.* 2005; 32(8):2434-2442.
17. González-Castaño D, Pena J, Sánchez-Doblado F, Hartmann GH, Gómez F, Leal A. The change of response of ionization chambers in the penumbra and transmission regions: impact for IMRT verification. *Med Biol Eng Comput.* 2008;46(4):373-380
18. Task Group 155 report: Small fields and non-equilibrium condition photon beam dosimetry. AAPM; 2012.
19. Wulff J, Zink K. Wie robust sind MC basierte kQ-Werte? Personal communication; 2011.
20. Chofor N, Harder D, Willborn K, Rühmann A, Poppe B. Low-energy photons in high-energy photon fields--Monte Carlo generated spectra and a new descriptive parameter. *Z Med Phys.* 2011 ;21(3):183-97.
21. Yin Z, Hugtenburg RP, Beddoe AH. Response of silicon diode dosimeters to scattered radiation from megavoltage photon beams. *Radiat Prot Dosimetry.* 2002; 101(1-4):415–418.
22. Van Dam J , Marinello G. Method for in vivo dosimetry in external radiotherapy. ESTRO; 2006 .
23. Nunn AA, Davis SD, Micka JA, DeWerd LA. LiF:Mg,Ti TLD response as a function of photon energy for moderately filtered x-ray spectra in the range of 20-250 kVp relative to ^{60}Co . *Med Phys.* 2008; 35(5):1859-1869.

24. Konnai A, Nariyama N, Ohnishi S and Odano N. Energy response of LiF and Mg₂SiO₄ TLDs to 10-150 keV monoenergetic photons. Radiat Prot Dosimetry. 2005; 115: 334-336.
25. Edwards CR, Mountford PJ, Green S, Palethorpe JE and Moloney AJ. The low energy x-ray response of the LiF:Mg,Cu,P thermoluminescent dosimeter: a comparison with LiF:Mg,Ti. Br J Radiol. 2005; 78: 543-547.
26. Chofor N, Harder D, Willborn K, Rühmann A, Poppe B. Low-energy photons in high-energy photon fields - Monte Carlo generated spectra and a new descriptive parameter. Z Med Phys. 2011; 21: 183-197.
27. Rogers DWO, Walters B, Kawarackow I. BEAMnrc User's Manual. Report PIRS-0509(A) rev 1. Ottawa: National Research Council of Canada; 2007.
28. Wang LL, Rogers DW. Monte Carlo study of si diode response in electron beams. Med Phys. 2007; 34(5):1734-1742.
29. Scott AJ, Nahum AE, Fenwick JD. Using a Monte Carlo model to predict dosimetric properties of small radiotherapy photon fields. Med Phys. 2008; 35(10):4671-4684.
30. Muir BR, McEwen MR, Rogers DW. Beam quality conversion factors for parallel-plate ionization chambers in MV photon beams. Med Phys. 2012;39 (3):1618-1631.
31. Muir BR, McEwen MR, Rogers DWO. Measured and Monte Carlo calculated K(Q) factors: accuracy and comparison. Med Phys. 2011 ;38(8):4600-4609.
32. Hultqvist M, Fernández-Varea JM, Izewska J. Monte Carlo simulation of correction factors for IAEA TLD holders. Phys Med Biol. 2010; 21;55(6):N161-N166.
33. González-Castaño DM, Hartmann GH, Sánchez-Doblado F, Gómez F, Kapsch RP, Pena J, Capote R. The determination of beam quality correction factors: Monte Carlo simulations and measurements. Phys Med Biol. 2009;54 (15):4723-4741.
34. Araki F. Monte Carlo calculations of correction factors for plane-parallel ionization chambers in clinical electron dosimetry. Med Phys. 2008 ;35 (9):4033-4040.
35. Al-Ahbabi SS, Bradley DA, Beyomi M, Alkatib Z, Adhaheri S, Darmaki M, et al. A comparison of protocols for external beam radiotherapy beam calibrations. Appl Radiat Isot. 2012 ;70 (7):1331-1336.
36. Huq MS, Andreo P, Song H. Comparison of the IAEA TRS-398 and AAPM TG-51 absorbed dose to water protocols in the dosimetry of high-energy photon and electron beams. Phys Med Biol. 2001;46(11):2985-3006.
37. Pantelis E, Moutsatsos A, Zourari K, Kilby W, Antypas C, Papagiannis P, et al. On the implementation of a recently proposed dosimetric formalism to a robotic radiosurgery system. Med Phys. 2010; 37:2369-2379.
38. Zakaria A, Schuette W, Younan C. Reference Dosimetry according to the New German Protocol DIN 6800-2 and Comparison with IAEA TRS 398 and AAPM TG 51. Biomed Imaging Interv J. 2011; 7(2): e15.
39. Cheng CW, Cho SH, Taylor M, Das IJ. Determination of zero field size percent depth doses and tissue maximum ratios for

- stereotactic radiosurgery and IMRT dosimetry: Comparison between experimental measurements and Monte Carlo simulation. *Med Phys.* 2007; 34(8):3149-3157.
40. Ali ESM, Rogers DWO. Functional forms for photon spectra of clinical linacs. *Phys Med Biol.* 2012; 57(1):31-50.
41. Bouchard H, Seuntjens J, Carrier JF, Kawrakow I. Ionization chamber gradient effects in nonstandard beam configurations. *Med Phys.* 2009; 36(10):4654-63.
42. Muir BR, McEwen MR, Rogers DW. Beam quality conversion factors for parallel-plate ionization chambers in MV photon beams. *Med Phys.* 2012; 39 (3): 1618-1631.
43. Sheikh-Bagheri D, Rogers DW. Monte Carlo calculation of nine megavoltage photon beam spectra using the BEAM code. *Med Phys.* 2002; 29(3):391-402.
44. McEwen MR. Measurement of ionization chamber absorbed dose kQ factors in megavoltage photon beams. *Med Phys.* 2010; 37(5):2179-2193.
45. Zhu TC1, Ahnesjö A, Lam KL, Li XA, Ma CM, Palta JR, et al. Report of AAPM Therapy Physics Committee Task Group 74: in-air output ratio, Sc, for megavoltage photon beams," *Med Phys.* 2009; 36(11):5261-5291.
46. Chen L, Chen LX, Sun HQ, Huang SM, Sun WZ, Gao XW, Deng XW. Measurements and comparisons for data of small beams of linear accelerators. *Chinese Journal of Cancer.* 2009; 28(3):272-276.
47. Cranmer-Sargison G, Weston S, Evans JA, Sidhu NP, Thwaites DI. Implementing a newly proposed Monte Carlo based small field dosimetry formalism for a comprehensive set of diode detectors. *Med Phys.* 2011; 38(12):6592-6602 .
48. Scott AJ, Nahum AE, Fenwick JD. Using a Monte Carlo model to predict dosimetric properties of small radiotherapy photon fields. *Med Phys.* 2008; 35(10):4671-4684.
49. Yarahmadi M, Nedaei HA, Allahverdi M, Asnaashari Kh, Sauer OA. Small photon field dosimetry using EBT2 Gafchromic film and Monte Carlo simulation. *International Journal of Radiation Research.* 2013; 11(4):215-224.
50. Scott LA, Cardoso SC, Campos LT, Alves VG, Batista DV, Facure A. Percentage depth dose evaluation in heterogeneous media using thermoluminescent dosimetry. *J Appl Clin Med Phys.* 2010; 11(1):2947.
51. Dieteriche S, Sherouse GW. Experimental comparison of seven commercial dosimetry diodes for measurement of SRS cone factors. *Med Phys.* 2011; 38(7): 4166-73.
52. Kawachi T, Saitoh H, Inoue M, Katayose T, Myojoyama A, Hatano K. Mitsuhiro Inoue Reference dosimetry condition and beam quality correction factor for CyberKnife beam. *Med Phys.* 2008; 35(10): 4591-4598.
53. Palmans H. Determination of the beam quality index of high-energy photon beams under nonstandard reference conditions. *Med Phys.* 2012; 39(9):5513-5519.
54. Sauer OA, Wilbert J. Functional representation of tissue phantom ratios for photon fields. *Med Phys.* 2009; 36(12): 5444-5450.
55. Sauer OA. Determination of the quality index (Q) for photon beams at arbitrary field sizes. *Med Phys.* 2009; 36(9): 4168-4172.